

Свойства решений модельной задачи о колебаниях вращающейся жидкости в областях с угловыми точками

С. Д. Троицкая

*Институт содержания и методов обучения Российской академии образования (УРАО ИСМО).
Россия, 119098, Москва, ул. Погодинская, д. 8.
E-mail: troitsks@gmail.com*

Статья поступила 21.05.2010, подписана в печать 15.06.2010

Исследовано поведение при $t \rightarrow \infty$ решений двумерной модельной задачи о колебаниях вращающейся идеальной жидкости в некоторых областях, содержащих угловые точки. Доказано, что существуют такие решения, вся энергия начального состояния которых со временем оказывается почти полностью сосредоточенной в сколь угодно малых окрестностях угловых точек.

Ключевые слова: вращающаяся жидкость, не почти периодические решения, распределение энергии.

УДК: 517.9. PACS: 47.32.Ef.

Введение

Изучение поведения вращающейся жидкости представляет собой важную задачу, актуальность которой в настоящее время не только не уменьшилась, но и возросла, что обусловлено целым рядом обстоятельств. Во-первых, в «классических» областях применения, таких, как геофизическая гидродинамика, существенно развились средства и системы сбора и обработки данных, что продвинуло задачи исследования образования и распространения вихревых потоков и течений гораздо ближе к задачам оперативного прогнозирования. Во-вторых, развитие физической науки привело к интенсивным теоретическим и экспериментальным исследованиям в таких областях, как астрофизика, физика высоких энергий, общая теория относительности и квантовая космология, где модель вращающейся жидкости является одной из главных. Наконец, задачи, рассматриваемые в технике, связанные, например, с центрифугированием, по-прежнему остаются актуальными. Вместе с тем многие теоретические вопросы, связанные с поведением вращающейся идеальной несжимаемой жидкости, еще очень далеки от окончательного решения.

В настоящей работе изучается поведение при $t \rightarrow \infty$ некоторого класса решений следующей двумерной модельной задачи о колебаниях идеальной жидкости, вращающейся вокруг оси Oz :

$$\frac{\partial u}{\partial t} = v - \frac{\partial p}{\partial x}, \quad \frac{\partial v}{\partial t} = -u, \quad \frac{\partial w}{\partial t} = -\frac{\partial p}{\partial z}, \\ (x, z) \in D, \quad D \subset \mathbf{R}^2, \quad (1)$$

$$\frac{\partial u}{\partial x} + \frac{\partial w}{\partial z} = 0, \quad (x, z) \in D, \quad (2)$$

$$u|_{t=0} = u_0, \quad v|_{t=0} = v_0, \quad w|_{t=0} = w_0, \quad (x, z) \in D, \quad (3)$$

$$un_1 + wn_3|_{\partial D} = 0. \quad (4)$$

Предполагается, что область, занимаемая жидкостью, представляет собой цилиндр $Q = \{(x, y, z) | (x, z) \in D, y \in \mathbf{R}\}$, где область D является треугольником:

$$D := \left\{ (x, z) \mid 0 < x < \frac{1}{\alpha}, \quad 0 < z < \alpha x \right\} \quad (0 < \alpha < +\infty), \quad (5)$$

отклонение поля скоростей жидкости от равномерного вращения $\mathbf{U} = (u, v, w)$ и динамическое давление p зависят только от времени t и двух пространственных переменных x и z , $\mathbf{n} = (n_1, n_3)$ — вектор нормали к ∂D в плоскости Oxz , а функция p при всех t удовлетворяет равенству $\int \int p dx dz = 0$.

Исследуемый класс решений в явном виде построен в работе [1] с помощью интегральных представлений функции тока ψ , соответствующей данной системе. В настоящей работе показано, что при некотором выборе вектора начального возмущения отклонения компонент скорости u, v, w жидкости от равномерного вращения при $t \rightarrow \infty$ стремятся к нулю в каждой внутренней точке области, занимаемой жидкостью, при этом доля энергии той части жидкости, которая находится вне сколь угодно малых окрестностей ребер цилиндра Q , соответствующих вершинам острых углов треугольника D , стремится к нулю при увеличении t .

В дальнейшем мы будем использовать обозначения, введенные в [1].

1. О свойствах гладких решений задачи (1)–(4)

В области D рассмотрим гиперболическое уравнение

$$\frac{\partial^2 \psi}{\partial x^2} - \frac{1}{a^2} \frac{\partial^2 \psi}{\partial z^2} = 0, \quad a^2 = \frac{\lambda}{1-\lambda}. \quad (6)$$

Его характеристики вида $x = az + c'$ будем называть характеристиками первого семейства, а характеристики вида $x = -az + c''$ — второго. Зафиксируем произвольное значение $\lambda \in (0, (1+\alpha^2)^{-1})$. Определим следующие бесконечные ломаные, задав закон отражения лучей характеристических направлений от границы. Предположим, что луч, выпущенный из точки $B(1/\alpha, 1)$ в направлении первого семейства характеристик внутрь области D , встретя границу ∂D , отражается от нее и следует далее внутрь D уже в направлении характеристик второго семейства. Затем снова, достигая границы ∂D , отражается от нее и следует вдоль характеристик первого семейства, и так далее. Предположим также, что луч, выходящий из точки $A(1, 0)$ в направлении первого семейства характеристик внутрь области D , ведет себя аналогично при отражении

от ∂D . Заметим, что при рассматриваемых значениях $\lambda \in (0, (1 + \alpha^2)^{-1})$ оба луча при этом локализуются в углу с вершиной O . Ломаные, являющиеся траекториями этих лучей, разбивают D на бесконечное число треугольников T_λ^i и параллелограммов P_λ^i . Обозначим вершины этих ломаных, лежащие на отрезке $[OB]$, через B_λ^i , вершины, лежащие на отрезке $[OA]$, — через A_λ^i , а внутренние точки их пересечений — через C_λ^i , $i = 1, 2, \dots$, нумеруя их по порядку в направлении от отрезка $[AB]$ к точке $O(0, 0)$.

Пусть $\theta_1 \in L_2(0, 1)$ — произвольная функция. По этой функции в треугольнике ABC_λ^1 построим такое обобщенное решение $\psi_0(x, z, \lambda) \in W_2^1(ABC_\lambda^1)$ уравнения (6), что

$$\psi_0|_{AB} = 0, \quad \frac{\partial \psi_0}{\partial x}|_{AB} = \theta_1.$$

Из работы [6] следует, что такое решение ψ_0 существует и единственно. Далее, используя функцию ψ_0 , в треугольнике $BC_\lambda^1 B_\lambda^1$ построим такое обобщенное решение $\psi_1(x, z, \lambda) \in W_2^1(BC_\lambda^1 B_\lambda^1)$ уравнения (6), что $\psi_1|_{BC_\lambda^1} = \psi_0|_{BC_\lambda^1}$, $\psi_1|_{BB_\lambda^1} = 0$. Существование и единственность ψ_1 следует из работы [3]. Затем, используя функции ψ_0 и ψ_1 , в треугольнике $AB_\lambda^1 A_\lambda^2$ построим такое обобщенное решение $\psi_2(x, z, \lambda) \in W_2^1(AB_\lambda^1 A_\lambda^2)$ уравнения (6), что

$$\psi_2|_{AC_\lambda^1} = \psi_0|_{AC_\lambda^1}, \quad \psi_2|_{C_\lambda^1 B_\lambda^1} = \psi_1|_{C_\lambda^1 B_\lambda^1}, \quad \psi_2|_{AA_\lambda^2} = 0.$$

И так далее. Пусть

$$\psi(x, z; \theta_1; \lambda) := \begin{cases} \psi_0(x, z, \lambda) & \text{при } (x, z) \in \Delta ABC_\lambda^1, \\ \psi_1(x, z, \lambda) & \text{при } (x, z) \in \Delta BC_\lambda^1 B_\lambda^1, \\ \psi_2(x, z, \lambda) & \text{при } (x, z) \in \Delta AB_\lambda^1 A_\lambda^2, \\ \dots & \end{cases} \quad (7)$$

Пусть $\theta_2(x) \in L_2(0, 1/\alpha)$ — произвольная функция. Аналогично тому, как для $\lambda \in (0, (1 + \alpha^2)^{-1})$ была построена функция $\psi(x, z; \theta_1; \lambda)$, построим функцию $\chi(x, z; \theta_2; \lambda)$ для $\lambda \in ((1 + \alpha^2)^{-1}, 1)$: функция χ является обобщенным решением уравнения (6), принадлежащим $W_2^1(D \cap \{z < 1 - \varepsilon\})$ для любого $0 < \varepsilon < 1$ и удовлетворяющим соотношениям $\chi|_{\partial D} = 0$ и $\chi_z|_{[OA]} = \theta_2$. Рассмотрим функцию

$$\tau(x, z; \lambda) := \begin{cases} \psi(x, z; \theta_1; \lambda) & \text{при } 0 < \lambda < (1 + \alpha^2)^{-1}, \\ \chi(x, z; \theta_2; \lambda) & \text{при } (1 + \alpha^2)^{-1} < \lambda < 1. \end{cases} \quad (8)$$

Пусть

$$u_0(x, z) = - \int_0^1 \sigma(\lambda) \frac{\partial \tau}{\partial z}(x, z; \lambda) d\lambda,$$

$$v_0(x, z) = 0,$$

$$w_0(x, z) = \int_0^1 \sigma(\lambda) \frac{\partial \tau}{\partial x}(x, z; \lambda) d\lambda,$$

где носитель $\text{supp } \sigma$ лежит в объединении интервалов $(0, (1 + \alpha^2)^{-1})$ и $((1 + \alpha^2)^{-1}, 1)$, тогда, как доказано в [1], вектор-функция $\mathbf{U} := (u, v, w)$ с компонентами

$$u = -\frac{\partial \tilde{\psi}}{\partial z}, \quad v = \int_0^t \frac{\partial \tilde{\psi}}{\partial z}(x, z; s) ds, \quad w = \frac{\partial \tilde{\psi}}{\partial x}, \quad (9)$$

где

$$\tilde{\psi}(x, z; t) := \int_0^1 \cos(\sqrt{\lambda} t) \sigma(\lambda) \tau(x, z; \lambda) d\lambda \quad (10)$$

является решением задачи (1)–(4).

Пусть $\theta_1 \in C_0^\infty[0, 1]$, $\theta_2 \in C_0^\infty[0, 1/\alpha]$, $\sigma(\lambda) \in C_0^\infty[0, 1]$, носитель $\text{supp } \sigma$ лежит в объединении интервалов $(0, (1 + \alpha^2)^{-1})$ и $((1 + \alpha^2)^{-1}, 1)$. Тогда для любого $n = 1, 2, \dots$ существует такая постоянная \mathcal{K}_n , не зависящая от t , что при всех $t \in (0, \infty)$ справедлива оценка

$$\|\tilde{\psi}(x, z; t)\|_{L_2(D)} \leq \frac{\mathcal{K}_n}{t^n}, \quad (11)$$

где $\tilde{\psi}(x, z; t)$ определена в (10).

В настоящем исследовании этот факт является ключевым. Очевидно, что для его доказательства достаточно рассмотреть случай, когда $\theta_2 \equiv 0$, $\text{supp } \sigma \subset [\lambda_*, \lambda_{**}] \subset (0, (1 + \alpha^2)^{-1})$, т. е.

$$\begin{aligned} \tilde{\psi}(x, z; t) &= \int_0^1 \cos(\sqrt{\lambda} t) \sigma(\lambda) \tau(x, z; \lambda) d\lambda = \\ &= \int_0^{(1+\alpha^2)^{-1}} \cos(\sqrt{\lambda} t) \sigma(\lambda) \tau(x, z; \lambda) d\lambda, \end{aligned} \quad (12)$$

где $\tau(x, z; \lambda) = \psi(x, z; \theta_1; \lambda)$. Функция $\tau(x, z; \lambda)$ является бесконечно дифференцируемой по x, z, λ везде внутри призмы $D \times (0, (1 + \alpha^2)^{-1})$ и может быть непрерывно продолжена со всеми своими производными на всю поверхность этой призмы за исключением прямой $x = 0, z = 0$.

Пусть $\mathcal{D}_{**} := D \cap \{a_{**}z > x + a_{**} - \frac{1}{\alpha}\}$, $a_{**} = \sqrt{\frac{\lambda_{**}}{1 - \lambda_{**}}}$. Для $(x, z) \in \mathcal{D}_{**}$ при всех $\mu \in [\lambda_*, \lambda_{**}]$ по формуле Римана имеем (см. [2])

$$\psi(x, z; \theta_1; \mu) = \frac{\sqrt{\mu}}{2\sqrt{1-\mu}} \int_{P(x, z; \mu)}^{Q(x, z; \mu)} \varphi(x', \mu) dx', \quad (13)$$

где

$$\varphi(x, \mu) := \left(\alpha \psi'_x + \frac{1-\mu}{\mu} \psi'_z \right) \Big|_{z=\alpha x}, \quad (14)$$

$P(x, z; \mu)$ и $Q(x, z; \mu)$ — абсциссы правого и левого углов характеристического треугольника с вершиной в точке (x, z) , соответствующего значению $\lambda = \mu$ и опирающегося на OB :

$$\begin{aligned} P(x, z; \mu) &= \frac{\alpha x - z}{2\alpha} l + \frac{\alpha x + z}{2\alpha}, \\ Q(x, z; \mu) &= \frac{\alpha x + z}{2\alpha} + \frac{\alpha x - z}{2\alpha l}, \end{aligned} \quad (15)$$

где

$$l = l(\mu) := \frac{\sqrt{1-\mu} + \alpha\sqrt{\mu}}{\sqrt{1-\mu} - \alpha\sqrt{\mu}} \quad (16)$$

— строго монотонно возрастающая на интервале $(0, (1 + \alpha^2)^{-1})$ функция, принимающая значения из интервала $(1, +\infty)$, поэтому

$$l(\mu) > 1 \quad \text{для всякого } \mu \in [\lambda_*, \lambda_{**}]. \quad (17)$$

Несложно видеть, что в наших условиях функция $\varphi(x, l)$ бесконечно дифференцируема по x, l везде внутри полуполосы $(0, 1/\alpha) \times (1, \infty)$. Пусть $l_1 := l(\lambda_*)$, $l_2 := l(\lambda_{**})$. Тогда, очевидно, $1 < l_1 \leq l_2 < +\infty$. Из результатов работы [1] следует, что для любого $n = 0, 1, 2, \dots$ имеют место следующие оценки:

$$\left| \frac{\partial^n \tilde{\varphi}}{\partial l^n} \right| \leq C(n) k^n l^k, \quad \frac{1}{\alpha l^{k+1}} < x \leq \frac{1}{\alpha l^k}, \quad l_* \leq l \leq l_{**}, \quad (18)$$

где $k = 1, 2, \dots$, а постоянная $C(n)$ не зависит от k и (x, l) .

Используя эти оценки, докажем оценку (11) при $n = 1$. Имеем

$$\begin{aligned} \tilde{\psi}(x, z; t) &= \int_0^1 \cos(\sqrt{\lambda} t) \sigma(\lambda) \tau(x, z; \lambda) d\lambda = \\ &= \int_0^1 \cos(\nu t) \cdot 2\nu \sigma(\nu^2) \tau(x, z; \nu^2) d\nu = \\ &= -\frac{1}{t} \int_0^1 \sin(\nu t) \left(2\nu \sigma(\nu^2) \right)'_\nu \tau(x, z; \nu^2) d\nu = \\ &\quad -\frac{1}{t} \int_0^1 \sin(\nu t) \cdot 2\nu \sigma(\nu^2) \tau'_\nu(x, z; \nu^2) d\nu. \end{aligned} \quad (19)$$

Докажем ограниченность L_2 -нормы первого из интегралов:

$$\begin{aligned} &\iint_D \left\{ \int_0^1 \sin(\nu t) \left(2\nu \sigma(\nu^2) \right)'_\nu \tau(x, z; \nu^2) d\nu \right\}^2 dx dz \leq \\ &\leq \iint_D \int_0^1 \left| \left(2\nu \sigma(\nu^2) \right)'_\nu \tau(x, z; \nu^2) \right|^2 d\nu dx dz = \\ &= \int_0^1 \iint_D \left| \left(2\nu \sigma(\nu^2) \right)'_\nu \tau(x, z; \nu^2) \right|^2 dx dz d\nu \leq K_1, \end{aligned}$$

где K_1 не зависит от t . Далее, для второго интеграла в (19) имеем

$$\begin{aligned} &\iint_D \left| \int_0^1 \sin(\nu t) \cdot 2\nu \sigma(\nu^2) \tau'_\nu(x, z; \nu^2) d\nu \right|^2 dx dz = \\ &= \iint_D \left| \int_{\lambda_*}^{\lambda_{**}} \sin(\sqrt{\mu} t) \sigma(\mu) \tau'_\mu(x, z; \mu) \cdot 2\sqrt{\mu} d\mu \right|^2 dx dz \leq \\ &\leq (\lambda_{**} - \lambda_*) \iint_D \int_{\lambda_*}^{\lambda_{**}} \left| \sigma(\mu) \tau'_\mu(x, z; \mu) \cdot 2\sqrt{\mu} \right|^2 d\mu dx dz = \end{aligned}$$

$$\begin{aligned} &\leq (\lambda_{**} - \lambda_*) \iint_{\mathcal{D}_{**}} \int_{\lambda_*}^{\lambda_{**}} \left| \sigma(\mu) \tau'_\mu(x, z; \mu) \cdot 2\sqrt{\mu} \right|^2 d\mu dx dz + \\ &\quad + (\lambda_{**} - \lambda_*) \iint_{\mathcal{D} \setminus \mathcal{D}_{**}} \int_{\lambda_*}^{\lambda_{**}} \left| \sigma(\mu) \tau'_\mu(x, z; \mu) \cdot 2\sqrt{\mu} \right|^2 d\mu dx dz. \end{aligned}$$

Существование второго слагаемого очевидно, поэтому зайдемся первым, воспользовавшись представлением (13) функции $\psi(x, z; \theta_1; \mu)$ в области \mathcal{D}_{**} :

$$\begin{aligned} &\iint_{\mathcal{D}_{**}} \int_{\lambda_*}^{\lambda_{**}} \left| \sigma(\mu) \tau'_\mu(x, z; \mu) \cdot 2\sqrt{\mu} \right|^2 d\mu dx dz \leq \\ &\leq 4 \iint_{\mathcal{D}_{**}} \int_{\lambda_*}^{\lambda_{**}} \left| \sigma(\mu) \cdot 2\sqrt{\mu} \left(\frac{\sqrt{\mu}}{2\sqrt{1-\mu}} \right)'_\mu \times \right. \\ &\quad \left. \times \int_{P(x,z;\mu)}^{Q(x,z;\mu)} \varphi(x', \mu) dx' \right|^2 d\mu dx dz + \\ &+ 4 \iint_{\mathcal{D}_{**}} \int_{\lambda_*}^{\lambda_{**}} \left| \sigma(\mu) \frac{\mu}{\sqrt{1-\mu}} Q'_\mu(x, z; \mu) \varphi(Q(x, z; \mu), \mu) \right|^2 d\mu dx dz + \\ &+ 4 \iint_{\mathcal{D}_{**}} \int_{\lambda_*}^{\lambda_{**}} \left| \sigma(\mu) \frac{\mu}{\sqrt{1-\mu}} P'_\mu(x, z; \mu) \varphi(P(x, z; \mu), \mu) \right|^2 d\mu dx dz + \\ &+ 4 \iint_{\mathcal{D}_{**}} \int_{\lambda_*}^{\lambda_{**}} \left| \sigma(\mu) \frac{\mu}{\sqrt{1-\mu}} \int_{P(x,z;\mu)}^{Q(x,z;\mu)} \varphi'_\mu(\tilde{x}, \mu) d\tilde{x} \right|^2 d\mu dx dz. \end{aligned} \quad (20)$$

Докажем существование последнего интеграла. Для этого достаточно доказать сходимость ряда

$$\sum_{k=k_0}^{+\infty} \iint_{R_k} \int_{\lambda_*}^{\lambda_{**}} \left| \int_{P(x,z;\mu)}^{Q(x,z;\mu)} \varphi'_\mu(\tilde{x}, \mu) d\tilde{x} \right|^2 d\mu dx dz, \quad (21)$$

где интегралы берутся по трапециям $R_k := \{(x, z) \mid \frac{1}{l_1^{k+1}} < x < \frac{1}{l_1^k}, 0 < z < \alpha x\}$, а k_0 достаточно большое. Переходя к новой переменной интегрирования $l = l(\mu)$ (см. (16)), имеем

$$\begin{aligned} &\int_{\lambda_*}^{\lambda_{**}} \left| \int_{P(x,z;\mu)}^{Q(x,z;\mu)} \varphi'_\mu(\tilde{x}, \mu) d\tilde{x} \right|^2 d\mu \leq K_2 \int_{l_1}^{l_2} \left| \int_{\tilde{P}(x,z;l)}^{\tilde{Q}(x,z;l)} \tilde{\varphi}'_l(\tilde{x}, l) d\tilde{x} \right|^2 dl \leq \\ &\leq K_2 \int_{l_1}^{l_2} \left| \tilde{P}(x, z; l) - \tilde{Q}(x, z; l) \right| \int_{\tilde{P}(x,z;l)}^{\tilde{Q}(x,z;l)} |\tilde{\varphi}'_l(\tilde{x}, l)|^2 d\tilde{x} dl, \end{aligned}$$

где K_2 — некоторая положительная константа, зависящая только от λ_* и λ_{**} . Пусть

$$P_k := \max_{\substack{(x, z) \in R_k, \\ l \in [l_1, l_2]}} \tilde{P}(x, z; l), \quad Q_k := \min_{\substack{(x, z) \in R_k, \\ l \in [l_1, l_2]}} \tilde{Q}(x, z; l).$$

Легко установить, что

$$P_k = \frac{l_2 + 1}{2l_1^k}, \quad Q_k = \frac{l_2 + 1}{2l_1^{k+1}l_2}, \quad (22)$$

поэтому для $(x, z) \in R_k$

$$\begin{aligned} \int_{l_1}^{l_2} |\tilde{P}(x, z; l) - \tilde{Q}(x, z; l)| \int_{\tilde{P}(x, z; l)}^{\tilde{Q}(x, z; l)} |\tilde{\varphi}'_l(\tilde{x}, l)|^2 d\tilde{x} dl &\leqslant \\ &\leqslant \frac{K_3}{l_1^k} \int_{Q_k}^{P_k} \left\{ \int_{l_1}^{l_2} |\tilde{\varphi}'_l(\tilde{x}, l)|^2 dl \right\} d\tilde{x}, \quad (23) \end{aligned}$$

где K_3 — некоторая положительная константа, зависящая только от λ_* и λ_{**} . Кроме того, из (22) следует также, что существуют не зависящие от k натуральные числа m_0 и r_0 такие, что $l_1^{-(k+m_0)} \leqslant Q_k < P_k \leqslant l_1^{-(k-r_0)}$ для всех k . Поэтому, если обозначить подынтегральное выражение в правой части неравенства (23) через \mathcal{F} , то в силу его неотрицательности имеем

$$\int_{Q_k} \mathcal{F} d\tilde{x} \leqslant \int_{l_1^{-(k+m_0)}}^{l_1^{-(k+m_0-1)}} \mathcal{F} d\tilde{x} + \int_{l_1^{-(k+m_0-1)}}^{l_1^{-(k+m_0-2)}} \mathcal{F} d\tilde{x} + \dots + \int_{l_1^{-(k-r_0+1)}}^{l_1^{-(k-r_0)}} \mathcal{F} d\tilde{x}.$$

Тогда

$$\begin{aligned} \sum_{k=k_0}^{+\infty} \iint_{R_k} \lambda_{**} \left| \int_{P(x, z; \mu)}^{Q(x, z; \mu)} \varphi'_\mu(\tilde{x}, \mu) d\tilde{x} \right|^2 d\mu dx dz &\leqslant \\ &\leqslant (m_0 + r_0 + 1) K_3 \sum_{k=k_0}^{+\infty} \frac{S_k}{l_1^k} \int_{l_1^{-(k+1)}}^{l_1^{-k}} \left\{ \int_{l_1}^{l_2} |\tilde{\varphi}'_l(\tilde{x}, l)|^2 dl \right\} d\tilde{x}, \quad (24) \end{aligned}$$

где S_k — площадь R_k .

Пусть $\tilde{x} \in [l_1^{-(k+1)}, l_1^{-k}]$. Обозначим через $l_{\tilde{x}, i}$ значения l , соответствующие точкам пересечения прямой $x = \tilde{x}$ с кривыми $x = \frac{1}{l^{k-i+1}}$, $i = 0, 1, 2, \dots$, так что

$$\tilde{x} = \frac{1}{(l_{\tilde{x}, 0})^{k+1}} = \frac{1}{(l_{\tilde{x}, 1})^k} = \frac{1}{(l_{\tilde{x}, 2})^{k-1}} = \dots = \frac{1}{(l_{\tilde{x}, i+1})^{k-i}} = \dots,$$

а через $N(\tilde{x}, k)$ — число таких пересечений, принадлежащих отрезку $[l_1, l_2]$. Легко установить, что для достаточно больших k выполняется $N(\tilde{x}, k) < \hat{\gamma}k$, где $0 < \hat{\gamma} < 1$ не зависит от k и \tilde{x} . При этом, очевидно, $l_{\tilde{x}, 0} \leqslant l_1 \leqslant l_{\tilde{x}, 1}$. Имеем

$$\int_{l_1^{-(k+1)}}^{l_1^{-k}} d\tilde{x} \int_{l_1}^{l_2} |\tilde{\varphi}'_l(\tilde{x}, l)|^2 dl \leqslant \int_{l_1^{-(k+1)}}^{l_1^{-k}} \left\{ \sum_{i=0}^{N(\tilde{x}, k)+1} \int_{l_{\tilde{x}, i}}^{l_{\tilde{x}, i+1}} |\tilde{\varphi}'_l(\tilde{x}, l)|^2 dl \right\} d\tilde{x}.$$

Воспользуемся теперь оценкой (18) при $(n = 1)$. Тогда

$$\int_{l_1^{-(k+1)}}^{l_1^{-k}} \left\{ \sum_{i=0}^{N(\tilde{x}, k)+1} \int_{l_{\tilde{x}, i}}^{l_{\tilde{x}, i+1}} |\tilde{\varphi}'_l(\tilde{x}, l)|^2 dl \right\} d\tilde{x} \leqslant$$

$$\begin{aligned} &\leqslant \int_{l_1^{-(k+1)}}^{l_1^{-k}} \left\{ \sum_{i=0}^{N(\tilde{x}, k)+1} \int_{l_{\tilde{x}, i}}^{l_{\tilde{x}, i+1}} C^2(1)(k-i)^2 l^{2(k-i)} dl \right\} d\tilde{x} \leqslant \\ &\leqslant k^2 C^2(1) \int_{l_1^{-(k+1)}}^{l_1^{-k}} \left\{ \sum_{i=0}^{N(\tilde{x}, k)+1} (l_{\tilde{x}, i+1})^{2(k-i)} (l_{\tilde{x}, i+1} - l_{\tilde{x}, i}) \right\} d\tilde{x} \leqslant \\ &\leqslant k^2 C^2(1) \int_{l_1^{-(k+1)}}^{l_1^{-k}} \{(N(\tilde{x}, k) + 2)(l_{\tilde{x}, 0})^{2(k+1)}\} d\tilde{x} \leqslant \\ &\leqslant k^2 C^2(1) \int_{l_1^{-(k+1)}}^{l_1^{-k}} \{(\hat{\gamma}k + 2)l_1^{2(k+1)}\} d\tilde{x} \leqslant K_4 k^3 l_1^k, \end{aligned}$$

где положительная постоянная K_4 не зависит от k , откуда с очевидностью следует сходимость ряда (24).

Ясно, что эти же рассуждения доказывают сходимость и первого из интегралов в правой части неравенства (20), поскольку функция $\varphi(x, \mu)$ растет не быстрее $\varphi'_\mu(x, \mu)$.

Рассмотрим теперь второй интеграл в правой части (20). Поскольку $P'_\mu(x, z; \mu) = \frac{\alpha x - z}{2\alpha} l'_\mu$, то, очевидно,

$$\begin{aligned} \iint_{D_{**}} \lambda_{**} \left| \sigma(\mu) \frac{\mu}{\sqrt{1-\mu}} P'_\mu(x, z; \mu) \varphi(P(x, z; \mu), \mu) \right|^2 d\mu dx dz &\leqslant \\ &\leqslant K_5 \iint_{D_{**}} |x| \int_{\lambda_*}^{\lambda_{**}} |\varphi(P(x, z; \mu), \mu)|^2 d\mu dx dz \leqslant \\ &\leqslant K_6 \iint_{D_{**}} |x| \int_{l_1}^{l_2} |\tilde{\varphi}(\tilde{P}(x, z; l), l)|^2 dl dx dz, \end{aligned}$$

где K_5 и K_6 — некоторые положительные постоянные, зависящие только от σ_0 , λ_* и λ_{**} . Для всякой фиксированной точки $(x, z) \in R_k$ обозначим значения l , соответствующие точкам пересечения кривой $x = \tilde{P}(x, z; l)$ с кривыми $x_{k', j}(l)$ в плоскости Olx через $l_{k, k', j}$. Пусть $N(x, z; k)$ — число таких пересечений $l_{k, k', j}$, принадлежащих отрезку $[l_1, l_2]$, и пусть при этом k' принимает значения $\{k'_m, k'_m + 1, \dots, k'_M\}$. Используя результаты работы [1], покажем, что сходится ряд

$$\sum_{k=k_0}^{+\infty} \iint_{R_k} |x| \int_{l_1}^{l_2} |\tilde{\varphi}(\tilde{P}(x, z; l), l)|^2 dl dx dz, \quad (25)$$

где k_0 достаточно большое. Для любой точки $(x, z) \in R_k$ имеем

$$\begin{aligned} \int_{l_1}^{l_2} |\tilde{\varphi}(\tilde{P}(x, z; l), l)|^2 dl &= \int_{l_1}^{l_{k, k'_M, n}} |\tilde{\varphi}(\tilde{P}(x, z; l), l)|^2 dl + \\ &+ \int_{l_{k, k'_M, n}}^{l_{k, k'_M - 1, n}} |\tilde{\varphi}(\tilde{P}(x, z; l), l)|^2 dl + \dots + \int_{l_{k, k'_M, n}}^{l_2} |\tilde{\varphi}(\tilde{P}(x, z; l), l)|^2 dl \leqslant \end{aligned}$$

$$\begin{aligned}
&\leq C(0) \left\{ \int_{l_{k,k'_M+1,n}}^{l_{k,k'_M,n}} l^{2k'_M} dl + \int_{l_{k,k'_M,n}}^{l_{k,k'_M-1,n}} l^{2k'_M-2} dl + \dots + \right. \\
&+ \left. \int_{l_{k,k'_M-1,n}}^{l_{k,k'_M,n}} l^{2k'_M-2} dl \right\} \leq C(0)(l_2 - l_1) \left((l_{k,k'_M,n})^{2k'_M} + \right. \\
&+ (l_{k,k'_M-1,n})^{2k'_M-2} + \dots + (l_{k,k'_M-1,n})^{2k'_M-2} \left. \right) = \\
&= C(0)(l_2 - l_1) \left(P(x, z; l_{k,k'_M,n})^{-2} + P(x, z; l_{k,k'_M-1,n})^{-2} + \right. \\
&+ \dots + \left. P(x, z; l_{k,k'_M-1,n})^{-2} \right) \leq \\
&\leq C(0)(l_2 - l_1)(N(x, z; k) + 1) \frac{4\alpha^2}{(\alpha x + z)^2} \leq \frac{K_7 k}{x^2},
\end{aligned}$$

где K_7 не зависит от k , поэтому ряд (25) действительно сходится.

Таким образом, при $n = 1$ оценка (11) доказана. Для того, чтобы доказать справедливость этой оценки при $n = 2$, заметим, что

$$\begin{aligned}
\tilde{\psi}(x, z; t) &= -\frac{1}{t} \int_0^1 \sin(\nu t) (2\nu\sigma(\nu^2))'_\nu \tau(x, z; \nu^2) d\nu - \\
&- \frac{1}{t} \int_0^1 \sin(\nu t) \cdot 2\nu\sigma(\nu^2) \tau'_\nu(x, z; \nu^2) d\nu = \\
&= -\frac{1}{t^2} \left(\int_0^1 \cos(\nu t) (2\nu\sigma(\nu^2))''_{\nu\nu} \tau(x, z; \nu^2) d\nu + \right. \\
&+ 2 \int_0^1 \cos(\nu t) (2\nu\sigma(\nu^2))'_\nu \tau'_\nu(x, z; \nu^2) d\nu + \\
&\left. + \int_0^1 \cos(\nu t) \cdot 2\nu\sigma(\nu^2) \tau''_{\nu\nu}(x, z; \nu^2) d\nu \right).
\end{aligned}$$

Существование первых двух интегралов в последнем выражении доказано выше, а для доказательства сходимости третьего интеграла, учитывая представление $\psi(x, z; \theta_1; \mu)$ в виде (13), очевидно, достаточно доказать, что сходится ряд

$$\sum_{k=k_0}^{+\infty} \iint_{R_k} \int_{\lambda_*}^{\lambda_{**}} \left| \int_{P(x,z;\mu)}^{Q(x,z;\mu)} \varphi''_{\mu\mu}(\tilde{x}, \mu) d\tilde{x} \right|^2 d\mu dx dz. \quad (26)$$

Доказательство сходимости этого ряда полностью повторяет доказательство сходимости ряда (21) с той лишь разницей, что использует оценку (18) для $n = 2$.

Случай $n = 3, 4, \dots$ рассматриваются аналогично.

2. Распределение энергии начального состояния

Несложно установить, что для решений задачи (1)–(4) выполняется закон сохранения энергии:

$$\mathcal{E}(t, D) := \int_D (|u|^2 + |v|^2 + |w|^2) dx dz = \text{const}.$$

Известно, что если область D является дополнением $\mathbf{R}^2 \setminus \overline{\Omega}$ к некоторой выпуклой ограниченной области Ω ,

то энергия начального возмущения перераспределяется при $t \rightarrow \infty$ так, что ее доля, сосредоточенная на любом компакте $A \in \mathbf{R}^2 \setminus \overline{\Omega}$, стремится к нулю, т. е. происходит рассеяние энергии. В нашем случае картина такова: если $\theta_1 \in C_0^\infty[0, 1]$, $\theta_2 \in C_0^\infty[0, 1/\alpha]$, $\sigma(\lambda) \in C_0^\infty[0, 1]$ и носитель $\text{supp } \sigma$ лежит в объединении интервалов $(0, (1 + \alpha^2)^{-1})$ и $((1 + \alpha^2)^{-1}, 1)$, то для любых $\varepsilon > 0$ и $\delta > 0$ существует такое $T = T(\varepsilon, \delta)$, что для решения $U = (u, v; w)$ задачи (1)–(4) при всех $t > T$

$$\mathcal{E}(t, D_\varepsilon) := \iint_{D_\varepsilon} (|u|^2 + |v|^2 + |w|^2) dx dz < \delta, \quad (27)$$

где $D_\varepsilon := D \cap \{x > \varepsilon\} \cap \{z < 1 - \varepsilon\}$. Действительно, полагая для простоты $\theta_2 \equiv 0$, $\text{supp } \sigma \subset [\lambda_*, \lambda_{**}] \subset (0, (1 + \alpha^2)^{-1})$, для функции тока $\tilde{\psi}$ имеем

$$\begin{aligned}
\tilde{\psi}(x, z; t) &= \int_0^1 \cos(\sqrt{\lambda} t) \sigma(\lambda) \tau(x, z; \lambda) d\lambda = \\
&= -\frac{1}{t} \int_0^1 \sin(\sqrt{\lambda} t) \left(2\sqrt{\lambda} \sigma(\lambda) \right)'_\lambda \tau(x, z; \lambda) d\lambda - \\
&- \frac{1}{t} \int_0^1 \sin(\sqrt{\lambda} t) \sigma(\lambda) \tau'_\lambda(x, z; \lambda) \cdot 2\sqrt{\lambda} d\lambda
\end{aligned}$$

(см. (19)). Как уже отмечалось, в наших условиях $\tau(x, z; \lambda)$ является бесконечно дифференцируемой по x, z, λ везде внутри призмы $D \times (0, (1 + \alpha^2)^{-1})$ и может быть непрерывно продолжена со всеми своими производными на всю поверхность призмы $(D \cap \{x > \varepsilon\}) \times (0, (1 + \alpha^2)^{-1})$, $\varepsilon > 0$. Имеем

$$\begin{aligned}
u &= \frac{1}{t} \int_0^1 \sin(\sqrt{\lambda} t) \left(2\sqrt{\lambda} \sigma(\lambda) \right)'_\lambda \tau_z(x, z; \lambda) d\lambda + \\
&+ \frac{1}{t} \int_0^1 \sin(\sqrt{\lambda} t) \sigma(\lambda) \tau''_{z\lambda}(x, z; \lambda) \cdot 2\sqrt{\lambda} d\lambda,
\end{aligned}$$

поэтому

$$\begin{aligned}
\iint_{D \cap \{x > \varepsilon\}} |u|^2 dx dz &\leq \frac{2}{t^2} \iint_{D \cap \{x > \varepsilon\}} \times \\
&\times \left| \int_0^1 \sin(\sqrt{\lambda} t) \left(2\sqrt{\lambda} \sigma(\lambda) \right)'_\lambda \tau_z(x, z; \lambda) d\lambda \right|^2 dx dz + \\
&+ \frac{2}{t^2} \iint_{D \cap \{x > \varepsilon\}} \left| \int_0^1 \sin(\sqrt{\lambda} t) \sigma(\lambda) \tau''_{z\lambda}(x, z; \lambda) \cdot 2\sqrt{\lambda} d\lambda \right|^2 dx dz \leq \\
&\leq \frac{2}{t^2} \iint_{D \cap \{x > \varepsilon\}} \int_0^1 \left| \left(2\sqrt{\lambda} \sigma(\lambda) \right)'_\lambda \tau_z(x, z; \lambda) \right|^2 d\lambda dx dz + \\
&+ \frac{2}{t^2} \iint_{D \cap \{x > \varepsilon\}} \int_0^1 \left| \sigma(\lambda) \tau''_{z\lambda}(x, z; \lambda) \cdot 2\sqrt{\lambda} \right|^2 d\lambda dx dz \leq \frac{K_\varepsilon}{t^2} \rightarrow 0 \quad (t \rightarrow \infty),
\end{aligned}$$

где положительная константа K_ε не зависит от t . Остальные слагаемые в (27) оцениваются аналогично. Таким образом, доказательство этого неравенства завершено.

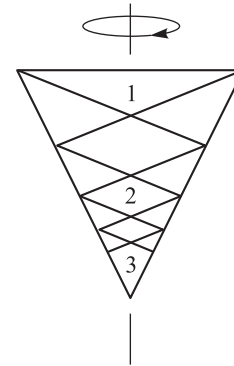
Из него следует, что при таком выборе начальных возмущений $\mathbf{U}_0 = (u_0, v_0, w_0)$ решения задачи (1)–(4) таковы, что вся энергия их начального состояния с течением времени оказывается почти полностью сосредоточенной в сколь угодно малых окрестностях вершин O и B области D . При этом, очевидно, что если $\theta_2 \equiv 0$ или $\text{supp } \sigma \in (0, (1 + \alpha^2)^{-1})$, то энергия аккумулируется лишь в окрестности точки O ; соответственно, если $\theta_1 \equiv 0$ или $\text{supp } \sigma \in ((1 + \alpha^2)^{-1}, 1)$, то энергия аккумулируется в окрестности точки B .

В [1] указано, что предложенный метод построения точных решений задачи (1)–(4) может быть использован для некоторого достаточно широкого класса областей с угловыми точками: например, когда D является «криволинейным треугольником», стороны OA и OB которого являются некоторыми гладкими кривыми, пересекающимися в точке O под ненулевым углом, и такими, что при всех λ из некоторого интервала (λ', λ'') лучи характеристических направлений, закон отражения от границы которых описан в разд. 1, локализуются в углу с вершиной O . Ясно, что поведение этих решений при $t \rightarrow \infty$ будет аналогичным описанному выше.

Проведенное исследование двумерной модельной задачи в бесконечном цилиндре позволяет сделать прогноз относительно поведения идеальной жидкости как внутри конуса, так и внутри, например, тора, симметричного относительно оси вращения и такого, что его осевое сечение является треугольником D , а именно можно утверждать, что при некотором выборе начальных возмущений колебания жидкости будут такими, что почти вся энергия этих возмущений с течением времени окажется в сколь угодно малой окрестности какого-либо ребра или конической точки.

И в заключение кратко обсудим экспериментальные исследования. Известно, что вопрос о поведении вращающейся жидкости в контейнерах разных конфигураций давно интересовал исследователей, в связи с чем и были поставлены следующие эксперименты. Прямой круговой конус, полностью заполненный жидкостью, был установлен на столе, который вращался вокруг вертикальной оси с угловой скоростью $\Omega = \Omega(1 + \varepsilon \cos \omega t)\mathbf{k}$ (см. [7]). Это была установка, аналогичная той, что была использована ранее [8], чтобы исследовать инерционные моды в сфере. Но если в случае сферы при медленном изменении ω жидкость проходила определенные состояния резонанса, соответствующие собственным частотам осесимметричных инерционных волн, то в конусе картина была принципиально иной, и здесь было получено лишь качественное описание поведения жидкости.

На рисунке показан устойчивый внутренний поток, как он был виден благодаря освещению алюминиевых хлопьев, введенных в жидкость. Оказалось, что амплитуда колебания жидкости вдоль оси увеличивается от значения, близкого к нулю в области 1, до значения, близкого к значению амплитуды наложенных коле-



Движение жидкости в коническом контейнере

баний в области 2. Однако в непосредственной близости от вершины (в области 3) амплитуда колебаний снова становится очень малой. При этом вид потока остается одинаковым для тех значений ω , при которых соответствующие им характеристики, локализуются в вершине конуса.

Теоретического объяснения такого поведения жидкости в то время не было получено. Проведенное в настоящей работе исследование решений двумерной модельной задачи как раз объясняет такое поведение жидкости: резонансных явлений в этой ситуации не может быть, поскольку спектр соответствующего оператора является непрерывным, а амплитуда движения жидкости увеличивается по мере приближения к вершине, потому что энергия с течением времени оказывается сконцентрированной в окрестности вершины — если значения ω таковы, что характеристики рассмотренного нами гиперболического уравнения при отражении от границы локализуются именно в углу, соответствующем этой вершине. С другой стороны, по-видимому, в исследованиях колебаний реальной вращающейся жидкости в контейнере, обладающем такими особенностями границы, нельзя пренебречь вязкостью, а значит, при проведении расчетов необходимо рассматривать соответствующие нелинейные системы.

Работа выполнена при частичной финансовой поддержке Программы поддержки научного потенциала высшей школы (грант РНП.2.1.1.5031).

Список литературы

1. Троицкая С.Д. // Вестн. Моск. ун-та. Физ. Астрон. 2010. № 6. С. 14.
2. Троицкая С.Д. // Изв. РАН. Сер. мат. 1994. **58**, № 4. С. 97.
3. Троицкая С.Д. // Матем. заметки. 1999. **63**, № 2. С. 128.
4. Гринспэн Х. Теория вращающихся жидкостей. Л., 1975.
5. Маслов В.П. // Сиб. матем. журнал. 1968. **9**, № 6. С. 1351.
6. Троицкая С.Д. // Изв. РАН. Сер. мат. 1998. **62**, № 2. С. 193.
7. Greenspan H.P. // Stud. Appl. Math. 1969. **48**. P. 19.
8. Aldridge K.D., Toomre A. // J. Fluid Mechanics. 1969. **37**, N 2. P. 307.
9. Morize C., Moisy F. // Phys. Fluids. 2006. **18**. P. 065107.

Properties of solutions of a model problem on oscillations of a rotating fluid in domains with angular points**S. D. Troitskaya***Institute for Content and Methods of Education, Russian Academy of Education, Pogodinskaya str. 8, Moscow 119098, Russia.**E-mail: troitsks@gmail.com.*

The behavior of solutions of a two-dimensional model problem on oscillations of an ideal rotating fluid in some domains containing angular points is studied as $t \rightarrow \infty$. It is proved that there exist solutions such that all the energy of the initial motion becomes almost completely concentrated in arbitrary small neighborhoods of angular points as time grows.

Keywords: rotating fluid, non almost-periodical solutions, absolutely continuous spectrum.

PACS: 47.32.Ef.

Received 21 May 2010.

English version: *Moscow University Physics Bulletin* 6(2010).

Сведения об авторе

Троицкая Сауле Джумабековна — канд. физ.-мат. наук, доцент, вед. науч. сотр.; тел.: (499) 246-32-48, e-mail: troitsks@gmail.com.